

## اتصال نوردي تيتانيوم به فولاد با استفاده از لایه ميانی نيكل

محسن سبکتکين ريزى<sup>\*</sup>، سيد غلامرضا رضوي<sup>۲</sup> و حسين مناجاني زاده<sup>۳</sup>

### چكیده

روکش تيتانيوم روی فولاد منجر به ايجاد خواصي همچون مقاومت به خوردگي بالا می‌شود که باعث کاربرد وسیع اين کامپوزیت فلزی در صنایعی از جمله صنایع اتمی، شیمیایی، هوافضا و همچنین، مصارف بیومواد شده است. يکی از روش‌های اتصال در حالت جامد جهت اعمال چنین روکشی استفاده از روش اتصال نوردی می‌باشد. در اين مقاله كیفیت روکش نوردی تيتانيوم روی فولاد ساده کربنی از لحاظ خواص متالورژیکی، مکانیکی و همچنین، تاثیر استفاده از لایه ميانی نيكل به عنوان مانع نفوذی بر خواص متالورژیکی اتصال مورد بررسی قرار گرفته است. فصل مشترک روکش و پایه با استفاده از میکروسکوپ نوری و الکترونی روبشی مورد بررسی قرار گرفت و فازهای تشکیل شده به وسیله آنالیز تفرق اشعه ایکس شناسایی گردید. نتایج نشان می‌دهد که هیچ‌گونه لایه واکنشی در فصل مشترک فولاد با نيكل تشکیل نخواهد شد، اما در فصل مشترک تيتانيوم با نيكل چندین لایه نفوذی شامل  $TiNi_3$ ,  $TiNi$ ,  $Ti_2Ni$  مشاهده می‌شود که افزایش دمای اتصال موجب افزایش ضخامت ترکیبات بين فلزی و افزایش سختی در فواصل نزدیک به فصل مشترک روکش تيتانيومی به فلز پایه می‌گردد.

**واژه‌های کلیدی:** تيتانيوم، اتصال نوردی، روکش، فولاد، خواص مکانیکی، لایه ميانی نيكل.

۱- کارشناس ارشد، دانشگاه آزاد اسلامی واحد نجف آباد، دانشکده مهندسی مواد، اصفهان، ایران.

۲- استادیار، دانشگاه آزاد اسلامی واحد نجف آباد، دانشکده مهندسی مواد، اصفهان، ایران.

۳- نویسنده مسئول مقاله: Mohsen.sabotakin@gmail.com

## پيشگفتار

دليل دara بودن خواص مقاومت به خوردگي بالاي نيكل و پلاستيسيته نسبتا خوب آن استفاده از نيكل برای ايجاد تماس بين دو سطح مورد اتصال مناسب است [۹].

در اين پژوهش اعمال روکش نوردي تيتانيوم خالص تجاري بر روی فولاد ساده کربني با استفاده از لایه ميانی نيكل از لحاظ خواص مکانيكى، فيزيكى و همچنین، تاثير دمای نورد بر ساختار و استحکام اتصال مورد ارزیابي قرار گرفته است.

## مواد و روش پژوهش

ورق تيتانيوم خالص تجاري و فولاد ساده کربني با ابعاد  $150 \times 100 \times 2$  mm با ترکيب شيميايی موجود در جدول ۱ تهيه شد. همچنین از فويل نيكل با خلوص ۹۹٪ به عنوان لایه ميانی استفاده گردید.

پس از اعمال لایه ميانی نيكل روی سطوح مورد اتصال، ورق تيتانيوم و فولاد بر روی هم پرج و نمونه هاي تهيه شده در کوره زير اتمسفر خنثی در دمای بين  $750^{\circ}\text{C}$ - $950^{\circ}\text{C}$  به مدت ۴۰ دقيقه پيش گرم و سپس بمنظور اعمال کاهش ضخامت ۳۰ درصد عملیات نورددگرم بر روی نمونه ها انجام شد و در نهايتم، نمونه ها در کوره تحت اتمسفر خنثی سرد شدند.

خواص و ريزساختار نمونه هاي ناشي از نورد گرم به وسیله ميكروسكپ نوري و الکتروني روبشي<sup>۴</sup> (SEM)، مجهز به آناليز نقطه ای<sup>۵</sup> (EDX) مورد بررسی قرار گرفتند.

براي حکاكی فولاد از محلول نايتال ۳٪ و برای حکاكی تيتانيوم از محلول کروول<sup>۶</sup> با ترکيب شيميايی<sup>۷</sup> استفاده شد. تعیین نوع فازهای موجود در زمینه نیز به کمک دستگاه پراش اشعه ایکس (XRD) مدل Philips X'Pert<sup>۸</sup> انجام شد. جهت اندازه گیری سختی روکش، پایه و نقاط نزدیک به آن ریز سختی سنگی ویکرز با نیروی ۲۵ گرم در دمای محیط مورد استفاده قرار گرفت. بمنظور سنجش چگونگی توزیع سختی در اطراف فصل مشترک، ریزساختی

اعمال روکش تيتانيوم روی فولاد باعث ايجاد خواص منحصر به فردی همچون مقاومت به خوردگي بالا می شود که منجر به کاربرد وسیع اين کامپوزیت فلزی در صنایع از جمله صنایع اتمی، شیمیایی، هوا فضا، بیومواد و حتی صنایع هسته ای گردیده است [۱]، اما از آن جایی که تيتانيوم حلاليت محدودی در آهن دارد (کمتر از ۰/۱ درصد) و همچنین، يك عنصر کاربیدزای قوي می باشد، لذا استحکام و چسبندگی بالاي روکش به زير لایه داراي اهمیت بوده و باید مورد توجه قرار گیرد [۲].

در اتصال يا روکش مستقيمه آلیاژهای تيتانيوم به فولاد، برخی از ترکيبات ترد و شکننده و همچنین، کاربید تيتانيوم (TiC) تشکيل و باعث ترد شدن و کاهش استحکام و چسبندگی محل اتصال خواهد شد. لذا، روش های جوشکاري در در حالت جامد [۳] از جمله جوشکاري انفجاری<sup>۹</sup> و اتصال نفوذی<sup>۱۰</sup>، برای اتصال تيتانيوم به فولاد مورد استفاده قرار گرفته است.

در جوشکاري يا اتصال انفجاری با اينكه استحکام محل اتصال بيشتر از فلزات پايه می باشد، ولی اعمال تغيير شکل پلاستيكي شدید جهت اتصال منجر به جدايش و ترك در محل اتصال می شود. در اتصال نفوذی تشکيل ترکيبات بين فلزی ترد باعث کاهش استحکام محل اتصال می گردد. بنابراین، کاهش درصد ترکيبات بين فلزی عامل مهمی در بهبود استحکام اتصال می باشد [۵].

در اتصال نوردي<sup>۱۱</sup> تيتانيوم به فولاد از آن جایي که زمان انجام فرایند بسیار كوتاه می باشد، زمان کافی برای نفوذ درهم اجزای مورد اتصال جود نداشته و درصد ترکيبات بين فلزی به آسانی قابل کنترل می باشد [۶]. همچنین، بر اساس بررسی های انجام شده استفاده از نيكل به عنوان لایه ميانی مانع از تشکيل ترکيبات Fe-Ti و بهبود سطوح مورد اتصال می شود [۶-۷]. بر اساس دیاگرام فازی تيتانيوم-نيكل و آهن-نيكل، هیچ ترکيب بين فلزی بين نيكل و آهن تشکيل نخواهد شد و همچنین، ترکيبات بين فلزی تشکيل شده بين تيتانيوم ونيكل خيلي ترد نیستند [۸]. به

<sup>4</sup> - Scanning Electron Microscope

<sup>5</sup> - Energy Dispersive X-ray fluorescence

<sup>6</sup> - Kroll's Solution

<sup>7</sup> - X-ray Diffraction

<sup>1</sup> - Explosive welding

<sup>2</sup> - Diffusion bonding

<sup>3</sup> - Roll bonding

چندین لایه واکنشی حاصل از فرایند نفوذ بین لایه میانی نیکل و فلز تیتانیم مشاهده شد که افزایش دمای اتصال تا  $900^{\circ}\text{C}$  باعث ایجاد یک منطقه نفوذی عمیق در فصل مشترک تیتانیم - نیکل و افزایش ضخامت ترکیبات بین فلزی شده است. افزایش ضخامت لایه‌ها با افزایش دما به دلیل ساختار متفاوت تیتانیم در بالا و پایین دمای  $882^{\circ}\text{C}$  می‌باشد. به گونه‌ای که تیتانیم در زیر دمای ذکر شده دارای ساختار ساختار آلفا با شبکه هگزاگونال و بالای این دما دارای ساختار بتا با شبکه  $\text{BCC}$  می‌باشد و با توجه به این که نیکل دارای شبکه متراکم  $\text{FCC}$  می‌باشد، نفوذ اتم‌های نیکل در شبکه نامتراکم تیتانیم راحت‌تر صورت گرفته و با افزایش دمای فرایند، اتم‌های نیکل مسافت‌های بیش‌تری در شبکه تیتانیم نفوذ می‌کنند [۱۲].

جهت آگاهی از ماهیت این لایه‌ها، آنالیز EDX انجام گرفت. ترکیب شیمیایی بدست آمده از آنالیز عنصری بالا با دیاگرام فازی تیتانیم - نیکل تطبیق و فازهای تشکیل شده در این لایه‌ها تخمین زده شد و ضخامت هر یک از این لایه‌ها به صورت مجزا در هر دما محاسبه گردید که نتایج بدست آمده در جدول ۲ گزارش شده است. همان‌گونه که مشاهده می‌گردد، لایه‌ای تشبیل شده حاوی ترکیبات  $\text{TiNi}_3$ ,  $\text{Ti}_2\text{Ni}$ ,  $\text{TiNi}$  می‌باشد که با تصاویر نشان داده شده در شکل ۳، با افزایش دما ضخامت این لایه‌ها نیز افزایش یافته است. بررسی پژوهشگران نشان می‌دهد که رشد لایه‌های نفوذی مجزا به صورت سهمی می‌باشد و با فرض دیفوزیون کنترل بودن واکنش از روابط زیر بدست می‌آید [۷ و ۱۰]:

$$X^2 = kt \quad (1)$$

$$K = k_0 \exp\left(\frac{-Q}{RT}\right) \quad (2)$$

که در روابط بالا  $X$ , ضخامت لایه‌های نفوذی بر حسب  $t$ , زمان اتصال دهنی بر حسب ( $S$ ),  $T$ , دمای اتصال ( $m$ ) بر حسب ( $K$ ), ثابت رشد بر حسب ( $Q$ ,  $\text{m}^2\text{s}^{-1}$ ), انرژی فعال‌سازی برای رشد لایه‌ها ( $k$ ),  $R$ , ثابت گازها ( $\text{Jmol}^{-1}\text{K}^{-1}$ ) می‌باشد.

جهت بررسی چگونگی توزیع عناصر گوناگون بویژه آهن، تیتانیم و نیکل در فصل مشترک اتصال، آنالیز خطی انجام گرفت که در شکل ۵ تصویر حاصل از این آنالیز

سنجدی به فواصل  $50$ ,  $100$  و  $200$  میکرومتر از دو طرف فصل مشترک به سمت زیر لایه فولادی و روکش تیتانیمی اندازه گیری شد.

## نتایج و بحث

### بررسی ساختار فصل مشترک اتصال نوردی تیتانیم به فولاد

بررسی‌ها نشان می‌دهند که اعمال روکش تیتانیم بر روی فولاد به وسیله فرایند نورد گرم در دمای بالاتر از  $900^{\circ}\text{C}$  و کمتر از  $800^{\circ}\text{C}$  امکان پذیر نمی‌باشد. با توجه به این که تیتانیم در دمای پایین دارای فاز آلفا با ساختار هگزاگونال است و دارای سیستم‌های لغزشی محدودی می‌باشد، لذا، مقاومت به تغییر شکل پلاستیکی اجزای مورد اتصال زیاد بوده و نیروی اعمالی جهت اتصال، برای تغییر شکل پلاستیکی و شکستن فیلم اکسیدی و دیگر ناخالصی‌ها در فصل مشترک اتصال کافی نبوده و لذا روکش تیتانیم و فولاد در دمایی کمتر از  $800^{\circ}\text{C}$  پذیر نمی‌باشد [۱۱ و ۱۰]. از سوی دیگر، در دمایی بالاتر از  $900^{\circ}\text{C}$  تیتانیم و نیکل تشکیل یک نقطه ذوب یوتکتیک می‌دهند و درصد ترکیبات بین فلزی در طول فصل مشترک تیتانیم- نیکل به گونه‌ای قابل ملاحظه افزایش یافته و بر اساس شکل ۱ موجب ترک و جداشدن در فصل مشترک روکش و فلز پایه می‌گردد؛ لذا روکش تیتانیم و فولاد در دمایی بالاتر از  $900^{\circ}\text{C}$  امکان پذیر نخواهد بود [۱۲].

شکل ۲ تصویر میکروسکوپی نوری از اتصال نوردی تیتانیم به فولاد در دمای  $900^{\circ}\text{C}$  مورد آزمایش را نشان می‌دهد. بر اساس تصاویر میکروسکوپی نوری مشاهده شد که فصل مشترک اتصال کاملاً مسطح بوده و هیچ‌گونه ترک یا ناپیوستگی در فصل مشترک اتصال مشاهده نشد. در شکل ۳ نیز تصویر میکروسکوپ الکترونی روبشی از فصل مشترک نیکل - فولاد در دمای  $900^{\circ}\text{C}$  را نشان می‌دهد همان‌گونه که مشاهده می‌گردد هیچ‌گونه لایه نفوذی در فصل مشترک اتصال تشکیل نگردیده است که آن را می‌توان به حلایت محدود نیکل در فولاد و کوتاه بودن زمان فرایند اتصال دهی نسبت داد [۶ و ۷]. در فصل مشترک تیتانیم - نیکل نشان داده شده در شکل ۴

می‌باشد که این ترکیبات دارای سختی بالاتری نسبت به فلزات پایه می‌باشند [۱۱] و چون بر اساس شکل ۳ با افزایش دما میزان این ترکیبات افزایش یافته‌لذا، مقدار سختی نیز با افزایش دما در فواصل نزدیک به فصل مشترک تیتانیم و نیکل افزایش می‌یابد. همان‌گونه که در شکل ۷ مشاهده می‌شود، میزان درخشندگی نقطه اثر در فصل مشترک اتصال بیشتر از دیگر نواحی است که این بیانگر سختی بیشتر نواحی نزدیک به فصل مشترک می‌باشد.

### بررسی نتایج ناشی از آنالیز XRD

نتایج ناشی از آنالیز XRD از سطح شکست روکش تیتانیم به فولاد در شکل ۹ نشان داده شده است. الگوی پراش ایجاد شده از سطح شکست نشان می‌دهد که فازهای تشکیل شده در فصل مشترک بیشتر فازهای  $TiNi_3$ ,  $Ti_2Ni$ ,  $TiNi$  و کاربید تیتانیم ( $TiC$ ) در سطح اتصال مشاهده نگردید. همچنین، حضور عنصر نیکل در سطح شکست اتصال در دمای  $800-900^{\circ}C$  نشان دهنده این است که شکست در ناحیه بین نیکل و ترکیبات بین فلزی رخ داده است که خود بیانگر چسبندگی مناسب بین تیتانیم- نیکل و نیکل- فولاد می‌باشد.

### نتیجه گیری

در این مقاله تاثیر لایه میانی نیکل بر اتصال نوردی تیتانیوم بر یک نوع فولاد مورد بررسی قرار گرفت و نتایج زیر بدست آمد:

- ۱- فصل مشترک فولاد- نیکل عاری از هرگونه لایه‌های واکنشی ناشی از فرایند نفوذ می‌باشد.
- ۲- در فصل مشترک نیکل- تیتانیوم به دلیل نفوذ نیکل در شبکه تیتانیم سه لایه نفوذی ایجاد می‌شود.
- ۳- نیکل به عنوان یک لایه میانی پایدار کننده فاز  $\beta$  بوده که ضمن تشکیل ساختار سوزنی شکل  $\alpha+\beta$  به عنوان یک مانع نفوذی عمل کرده و مانع از نفوذ تیتانیوم و آهن در یکدیگر و تشکل ترکیبات بین فلزی  $TiC$  و  $Fe-Ti$  می‌شود.

خطی در فصل مشترک تیتانیم - فولاد در دمای  $900^{\circ}C$  نشان داده شده است. بر اساس آنالیز خطی، ملاحظه می‌شود که عنصر نیکل نفوذ چندانی در شبکه فولاد نداشته است که دلیل آن را می‌توان بر کمبودن حلایت و ضربی نفوذ نیکل در آهن دانست، ولی عنصر نیکل به گونه قابل ملاحظه‌ای در شبکه تیتانیم نفوذ کرده است به گونه‌ای که حضور عنصر نیکل در فواصل دور از فصل مشترک قابل مشاهده است. مهاجرت اتم‌های نیکل در فواصل دور از شبکه تیتانیم در دمای  $900^{\circ}C$  به دلیل افزایش ضربی نفوذ نیکل در شبکه تیتانیم بتا با افزایش دما می‌باشد [۵].

فصل مشترک اتصال تیتانیم و نیکل در شکل ۶ نشان داده شده است که بررسی‌ها حاکی از تشکیل یک ساختار سوزنی شکل در این فصل مشترک می‌باشد. با بررسی بیشتر ساختار موجود (ساختار سوزنی شکل)، در شکل بالا مشخص شد که ساختار بدست آمده ساختار سوزنی شکل  $\alpha+\beta$  است. بررسی‌ها نشان می‌دهند که ایجاد چنین ساختاری در فصل مشترک تیتانیم- نیکل به این علت است که نیکل یک عنصر پایدارکننده فاز بتا می‌باشد در نتیجه، وجود لایه میانی نیکل در فصل مشترک اتصال موجب پایدار شدن فاز  $\beta$  شده و مهاجرت اتم‌های نیکل در شبکه تیتانیم باعث کاهش دمای استحاله یوتکتoid می‌شود و ساختار سوزنی شکل  $\alpha+\beta$  از تجزیه فاز  $\beta$  در طول سرد کردن نمونه‌ها حاصل می‌گردد [۶ و ۵].

### نتایج ناشی از ریزسختی سنجی فصل مشترک اتصال نوردی تیتانیوم به فولاد

شکل ۷ تصویر میکروسکوپی نوری از ریزسختی سنجی فصل مشترک اتصال نوردی و شکل ۸ نتایج ناشی از ریزسختی سنجی نمونه‌ها در دماهای گوناگون مورد آزمایش را نشان می‌دهد. همان‌گونه که مشاهده می‌شود، در نواحی نزدیک به فصل مشترک تیتانیم - نیکل سختی بالاست و با افزایش فاصله از فصل مشترک مقدار سختی کاهش یافته است، ولی در فصل مشترک فولاد - نیکل تغییر چندانی در مقدار سختی مشاهده نمی‌شود. افزایش مقدار سختی در فصل مشترک نیکل- تیتانیوم به دلیل  $Ti-Ni$  تشکیل فازهای بین فلزی مشکل از ترکیبات

می‌شود.

۴- تشکیل ترکیبات بین فلزی Ti-Ni موجب افزایش سختی در فواصل نزدیک به فصل مشترک تیتانیم-نیکل

### References

- 1- S. N. Polyanskii and V.S. Kolnogorov, "Cladded steel for the oil and gas industries", chemical and Petroleum Engineering, Vol. 38, pp. 11–12, 2002.
- 2- G. E. Totten, Steel Heat treatment Handbook 2rd ed, p. 17-18, Taylor & Francis, 2006.
- ۳- ا. زنده باد و ح. دانش منش، "بررسی رفتار فشاری فوم‌های آلمینیمی تولید شده با استفاده از فرآیند اتصال نوردی تجمعی (ARB)"، مجله مواد نوین، جلد ۱، شماره ۴، ص ۱۳-۱۰، تابستان ۱۳۹۰.
- 4- N. Kahramana, and B.Gulenc, "Joining of titanium/stainless steel by explosive welding and effect on interface", Journal of Materials Processing and Technology, Vol. 169, pp. 127–133, 2005.
- 5- A. Elrefaey, and W. Tillmann, "Solid state diffusion bonding of titanium to steel using a copper base alloy as interlayer", Journal of Materials Processing and Technology , Vol. 209, pp. 2746–2752. 2009.
- 6- T. Fukuda, and Y. Seino, "Bonding strength and microstructure of bonding interface of hot rolled titanium clad steel", Iron and Steel Institute of Japan, Vol. 75.,pp. 94-101, 1989.
- 7- S. Kundu, and S. Chatterjee, "Characterization of diffusion bonded joint between titanium and 304 stainless steel using a Ni interlayer", Materials Characterization, Vol. 59, pp. 631-637, 2008.
- 8- M. K. Lee and J. G. Lee, "Interlayer engineering for dissimilar bonding of titanium to stainless steel", Materials letters, Vol. 64, Issue. 9, pp. 1105-1108, 2010.
- 9- A. Elrefaey, and W. Tillmann, "Evaluation of Transient Liquid Phase Bonding Between Titanium and Steel", Advanced Engineering Materials, Vol. 11, No. 7, pp. 556-560, 2009.
- 10- S. Dzialach, and W. Bleck, "Roll-Bonded Titanium/ Stainless-Steel Couples, Part1 Diffusion and Interface-Layer Investigation", Advanced Engineering Materials, Vol. 11, No. 1-2, pp. 82-87, 2009.
- 11- R. Ferro, and A. Saccoe, Intermetallic Chemistry, Elsevier, London, 2008.
- 12- C. Leyens and M. Peters, Titanium and Titanium Alloy, Wiley-VCH, Germany, 2003.

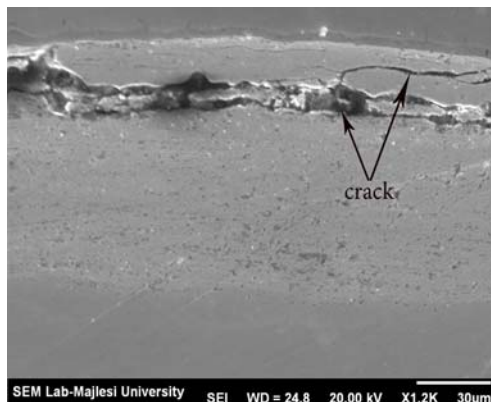
### پیوست‌ها

جدول ۱- ترکیب شیمیایی فلزات مورد اتصال.

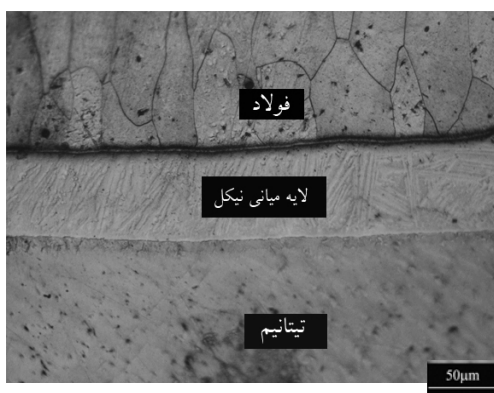
آلیاژ	C	Ti	Mn	H	O	N	Si	P	S	Fe
تیتانیم خالص	0.02	Bal.	-	0.01	0.25	0.03	-	-	-	0.03
فولاد ساده کربنی	0.12	-	0.50	-	-	-	0.50	0.035	0.035	Bal.

جدول ۲- فازهای تشخیص داده شده در فصل مشترک تیتانیم-نیکل با توجه به نتایج حاصل از آنالیز عنصری EDX و تطبیق آن با دیاگرام فازی تیتانیم-نیکل.

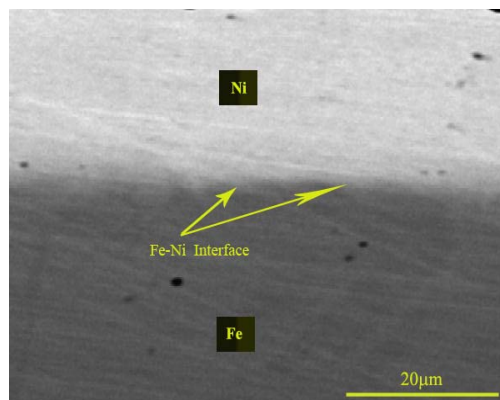
دما (°C)	لایه	فازهای تشکیل شده
۸۰۰	۱	Ti <sub>2</sub> Ni
	۲	TiNi
	۳	TiNi <sub>3</sub>
۸۵۰	۱	Ti <sub>2</sub> Ni
	۲	TiNi
	۳	Ni+TiNi <sub>3</sub>
۹۰۰	۱	Ni+Ti <sub>2</sub> Ni
	۲	TiNi
	۳	TiNi <sub>3</sub>



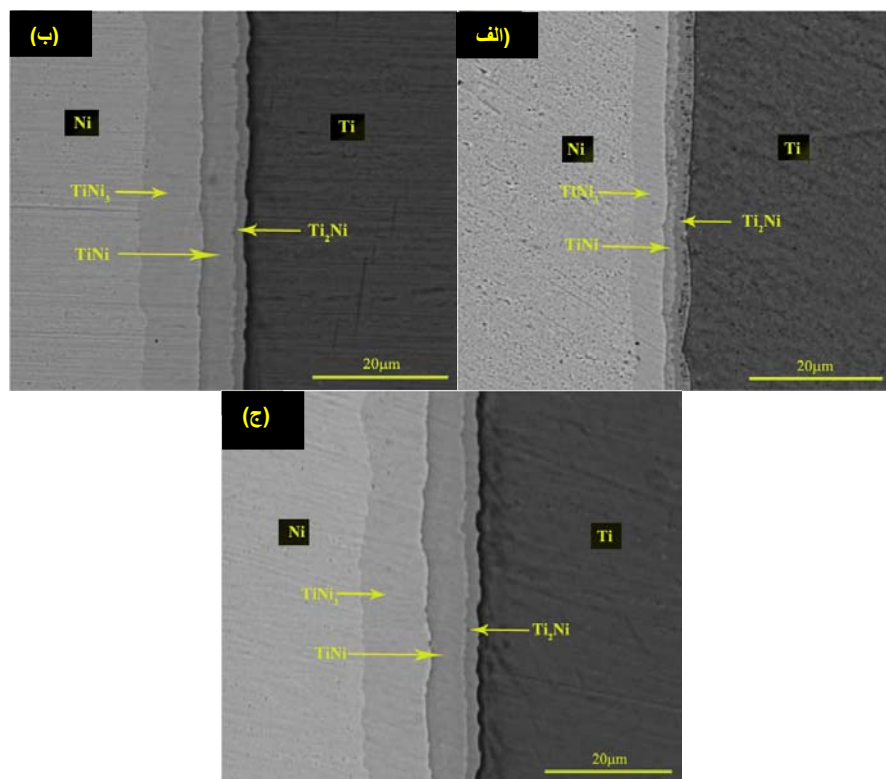
شکل ۱- تصویر میکروسکوپی الکترونی روبشی از میکروترک‌های ناشی از اتصال نوردی تیتانیم به فولاد در دمای ۹۵۰°C.



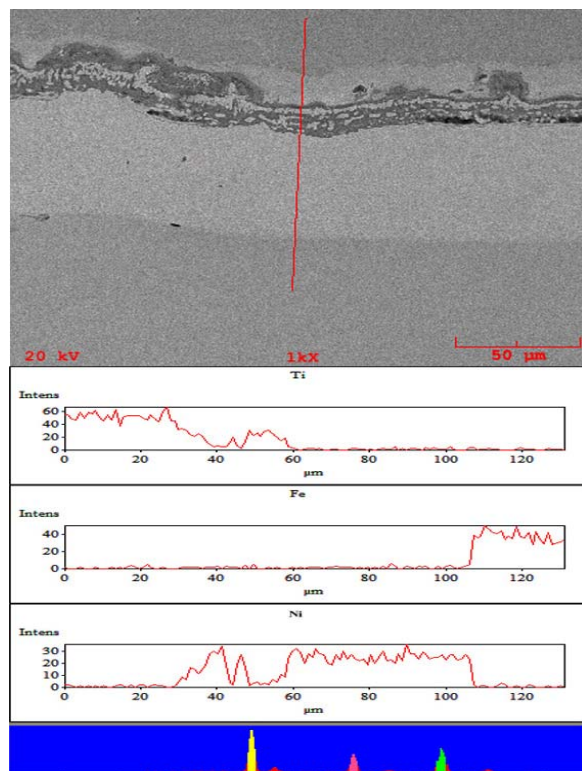
شکل ۲- تصویر میکروسکوپ نوری از فصل مشترک اتصال در دمای ۹۰۰°C



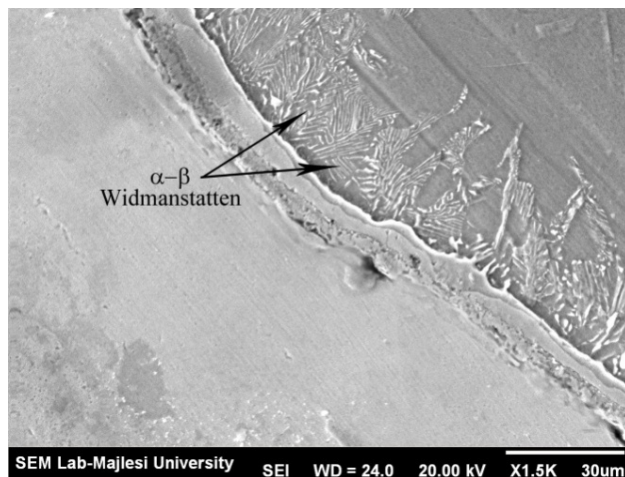
شکل ۳ - فصل مشترک اتصال فولاد- نیکل در دمای  $900^{\circ}\text{C}$ .



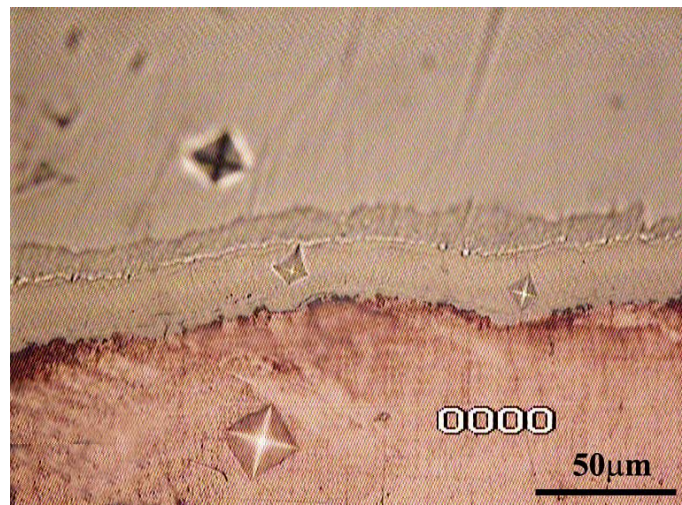
شکل ۴- تصویر میکروسکوپ الکترونی روبشی (SEM) از فصل مشترک تیتانیم- نیکل (الف) در دمای ۸۰۰ ب ) دمای ۸۵۰ .(ج)  $900^{\circ}\text{C}$



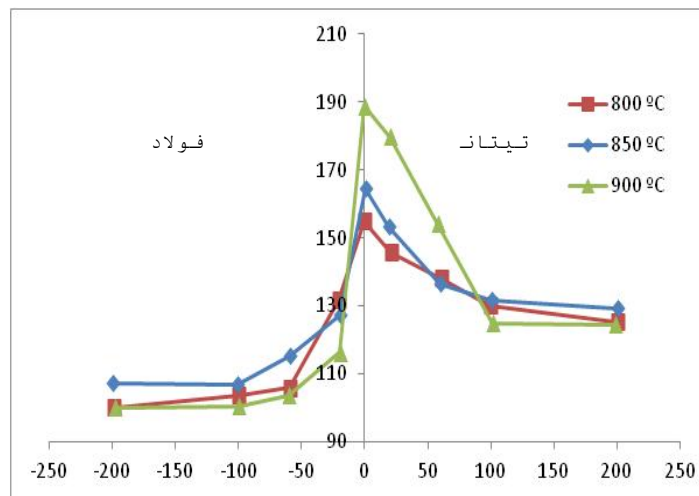
شکل ۵- نتایج ناشی از آنالیز خطی از توزیع عناصر گوناگون در فصل مشترک تیتانیم - فولاد در دمای  $900^{\circ}\text{C}$



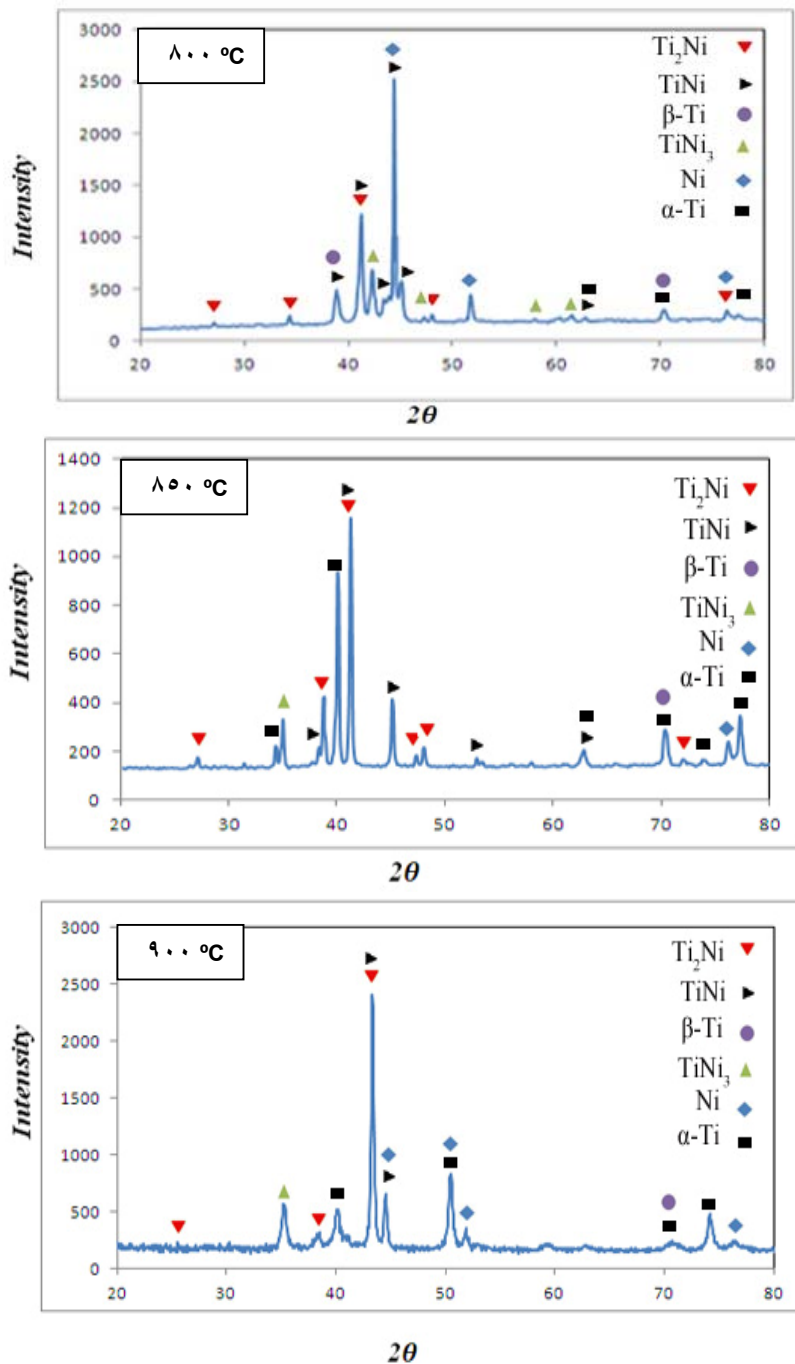
شکل ۶- ساختار سوزنی شکل  $\alpha+\beta$  در فصل مشترک اتصال تیتانیم - نیکل در دمای  $900^{\circ}\text{C}$



شکل ۷- تصویر میکروسکپ نوری از ریز سختی سنجی فصل مشترک اتصال نیکل-تیتانیم.



شکل ۸- نتایج حاصل از ریز سختی سنجی فواصل دور و نزدیک به فصل مشترک.



شکل ۹-نتایج حاصل از آنالیز تفرق اشعه ایکس.